

ФИЗИЧЕСКИЕ ПРОЦЕССЫ  
В ЭЛЕКТРОННЫХ ПРИБОРАХ

УДК 621.382:678.019.3

ЗАВИСИМОСТЬ ОБРАТИМЫХ И НЕОБРАТИМЫХ ОТКАЗОВ  
ПОЛУПРОВОДНИКОВЫХ ПРИБОРОВ ОТ ЧАСТОТЫ СЛЕДОВАНИЯ  
МОЩНЫХ ИМПУЛЬСНЫХ ЭЛЕКТРОМАГНИТНЫХ ПОМЕХ

© 2023 г. В. Г. Усыченко<sup>a</sup>, Л. Н. Сорокин<sup>b</sup>, \*, А. А. Сасункевич<sup>c</sup>

<sup>a</sup>АО “Светлана-Электронприбор”,  
просп. Энгельса, 27, лит. С, Санкт-Петербург, 194156 Российская Федерация

<sup>b</sup>Санкт-Петербургский федеральный исследовательский центр РАН,  
14-я линия Васильевского острова, 39, Санкт-Петербург, 199178 Российская Федерация

<sup>c</sup> Военно-космическая академия им. А.Ф. Можайского,  
ул. Ждановская, 13, Санкт-Петербург, 197198 Российская Федерация

\*E-mail: sorokinln@mail.ru

Поступила в редакцию 17.08.2022 г.

После доработки 01.04.2023 г.

Принята к публикации 07.04.2023 г.

Проанализированы механизмы обратимых и необратимых отказов, происходящих у полупроводниковых СВЧ-приборов, микросхем и микропроцессоров при воздействии мощных электромагнитных импульсов, следующих как одиночно, так и периодически. Показано, что у микропроцессоров отказы обоих видов порождаются электротепловыми неустойчивостями, которые развиваются в пренебрежимо малых объемах прибора. Объяснены зависимости пороговой энергии отказов от амплитуды, длительности и частоты следования импульсов. Результаты расчетов согласуются с экспериментальными данными.

DOI: 10.31857/S0033849423120197, EDN: YDGBZL

## ВВЕДЕНИЕ

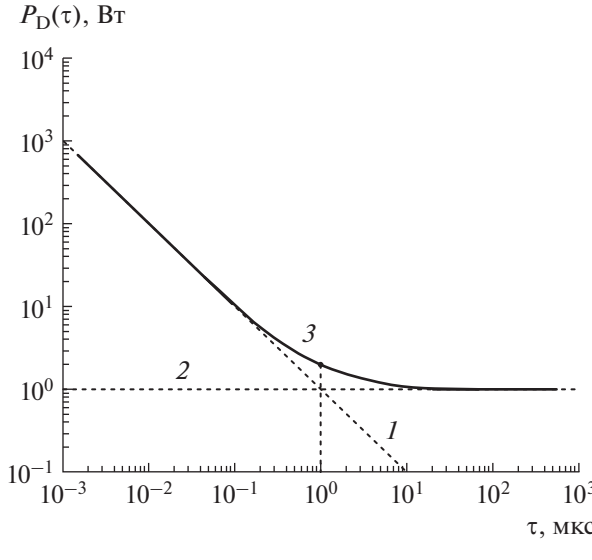
Безотказность работы современных технических устройств, находящихся под воздействием мощных импульсных электромагнитных помех, зависит в основном от стойкости полупроводниковых приборов (ПП), находящихся в их составе. Давно установлено [1, 2], что стойкость отдельных ПП (один ПП на одном полупроводниковом кристалле, например, диод или транзистор) определяется количеством рассеиваемой в них электрической мощности импульса, превышение порогового значения которой приводит к тепловому разрушению – необратимому (катастрофическому) отказу. Мощность импульсной помехи столь велика, что мощность сигналов, циркулирующих в самом ПП, не имеет значения. Созданы различные и взаимно непротиворечивые аналитические модели [3–7] теплового нагрева и разрушения отдельных ПП при воздействии одиночных прямоугольных (или приведенных к прямоугольному виду) электрических импульсов разной длительности  $\tau$ . Энергия импульса выделяется в активной области ПП, называемой источником тепла: обычно это область, содержащая переход или барьер, из которой тепло растекается по всему объему ПП. Модели с погрешностью порядка не-

скольких десятков процентов качественно верно объясняют [8] наблюдающиеся на практике пороговые зависимости мощности импульсов от их длительности, превышение которых приводит к разрушению отдельных ПП.

Позднее явления теплового нагрева и разрушения обнаружили у более сложных видов ПП – в микросхемах, микроконтроллерах [9, 10]. При этом у микроконтроллеров, микропроцессоров и некоторых других типов цифровых микросхем помимо необратимых отказов наблюдаются и обратимые отказы в виде зависания, обычно устраиваемого перезапуском питания.

Отказы обоих видов могут происходить при воздействии не только одиночных, но и периодически следующих менее мощных импульсов. Например, зависают персональные компьютеры разных поколений [11–13].

Для отдельных СВЧ ПП создана также модель необратимых отказов [14, 15], возникающих по причине автозапуска эффекта постепенного (от импульса к импульсу) накопления тепла, развивающегося при соответствующем подборе амплитуды, длительности и частоты следования импульсов. Но до сих пор отсутствуют адекватные модели развития обратимых и необратимых отка-



**Рис. 1.** Типичная зависимость пороговой мощности  $P_D(\tau)$  отказов типа “D” у СВЧ ПП сантиметрового диапазона от длительности  $\tau$  одиночных импульсов: 1 – адиабатический нагрев  $P_D(\tau) \propto 1/\tau$ ; 2 – квазистатический нагрев  $P_D(\infty) = \text{const}(\tau)$ ; 3 – зависимость  $P_D(\tau)$ .

зов у микросхем, находящихся под периодическим воздействием достаточно мощных электромагнитных импульсов. Цель статьи – разобраться с природой этих явлений.

## 1. ИСХОДНЫЕ ПОЛОЖЕНИЯ

В Российской Федерации [16] и в ряде других стран необратимые отказы, приводящие к полной потере работоспособности ПП, называют отказами типа “D”; обратимые отказы, устраниемые перезапуском питания, классифицируют как отказы типа “C”. Отказы типа “D” наблюдаются у ПП любого вида независимо от того, подключен он к источнику питания или нет. Отказы типа “C”, наряду с отказами типа “D”, наблюдаются только у некоторых типов цифровых микросхем, таких как микропроцессоры и микроконтроллеры. Пороговая энергия импульса, вызывающего обратимый отказ типа “C” у работающей цифровой микросхемы, подключенной к источнику питания, меньше необходимой для появления у нее же отказа типа “D”. Таким образом, отказ типа “C” запускается энергией воздействующего импульса, а существует во времени благодаря источнику питания. В этом принципиальное различие между этими двумя видами отказов.

В общем случае, пороговое значение критической мощности  $P_{kp}(\tau)$ , рассеиваемой в отдельном ПП одним прямоугольным импульсом длительностью  $\tau$ , нагревающим его до некой критиче-

ской температуры  $T_{kp}$ , в рамках тепловой модели Таска [4] описывается формулой вида

$$P_{kp}(\tau) = (A/\tau + B/\sqrt{\tau} + C)(T_{kp} - T_0), \quad (1)$$

где постоянные  $A$ ,  $B$ ,  $C$  зависят от размеров и свойств полупроводника;  $T_0$  – начальная температура. Отказ типа “D” происходит при нагреве активной области ПП (в модели Таска это небольшой шар в центре неограниченного полупроводникового кристалла) до температуры  $T_{kp} \approx T_D$  плавления полупроводника. У многих транзисторов и диодов СВЧ-диапазона [8], а также у различных типов микросхем [9] постоянная  $B$  близка к нулю, и в пределе  $B = 0$ , зависимость (1) принимает вид

$$P_D(\tau) = \left[ \frac{c_V V}{\tau} + \frac{4\pi}{3} \chi d \right] (T_D - T_0), \quad (2)$$

где  $c_V$  и  $\chi$  – теплоемкость единицы объема и теплопроводность полупроводника;  $d$  и  $V$  – диаметр и объем нагреваемой током активной области.

В тепловой модели [7] активной областью является не шар, а прямоугольный параллелепипед, из центра которого выделяющееся тепло диффундирует к его границам и далее. Если взять параллелепипед с квадратным основанием, длина сторон которого  $d$ , то приведенная к виду (2) формула модели [7] отличается от формулы Таска лишь вторым слагаемым:  $\pi\chi d$  вместо  $(4/3)\pi\chi d$ . Относительно небольшое (в 1.33 раза) различие означает, что в рассматриваемых задачах определяющим является объем активной области, а не ее форма.

Зависимость (2) приведена на рис. 1 в двойном логарифмическом масштабе. Она представляет собой сумму двух асимптотических прямых (1 и 2), пересекающихся при длительности  $\tau = \tau_D$ . Наклонная линия 1 описывает адиабатический нагрев активной области коротким  $\tau \leq \tau_D$  импульсом, за время воздействия которого тепло не успевает покинуть ее объем. Пороговая зависимость мощности выгорания при адиабатическом нагреве связана с длительностью импульса законом пропорциональности  $P_D(\tau) \propto 1/\tau$ . Горизонтальная линия 2 описывает квазистационарный нагрев активной области длинным  $\tau \geq \tau_D$  импульсом, при воздействии которого мощность, втекающая в активный объем, равна мощности, вытекающей из него. На асимптоте 2 пороговый уровень мощности выгорания  $P_D(\tau > \tau_D) = P_D(\infty) = \text{const}(\tau)$  постоянен, т.е. не зависит от длительности импульса.

Общая для адиабатического и квазистатического нагрева абсцисса  $\tau_D$  пересечения асимптот 1 и 2 есть постоянная времени отказа типа “D”, наступающего при достижении в активной области

температуры выгорания  $T_D$ . У многих СВЧ ПП сантиметрового диапазона [8] экспериментальные зависимости  $P_D(\tau)$ , как и зависимость, изображенная на рис. 1, характеризуются постоянной времени порядка  $\tau_D \approx 10^{-6}$  с, мощностью выгорания порядка  $P_D(\tau_D) \approx 1$  Вт и энергией выгорания  $\tau_D P_D(\tau_D) \approx 10^{-6}$  Дж.

У СВЧ ПП “виновником” отказов типа “D” является электротепловая неустойчивость  $S$ -типа, развитие которой заканчивается электрическим пробоем с образованием тонкого токового шнуря, в котором выделяемая энергией импульса температура превышает температуру плавления полупроводника. При остывании ПП эта избыточная температура рассеивается в прилегающих к шнуру областях, разрушая кристалл за пределами шнуря. При этом, как показывает микроскопический анализ [8], выгорает активная область СВЧ ПП с находящейся в ней частью барьера или перехода.

Вызываемые одиночными импульсами отказы типа “D” у микросхем [9] в графическом отображении подобны рис. 1, при этом мощности выгорания  $P_D(\tau_D)$  у них и у СВЧ ПП сопоставимы по порядку.

Отказы типа “C” у работающих микропроцессоров, микроконтроллеров и некоторых других типов цифровых микросхем также описываются формулой (2), но с иными индексами начальной  $T_p > T_0$  и критической температуры  $T_C < T_D$ . Пороговая зависимость мощности  $P_C(\tau)$  отказов типа “C” подобна изображенной на рис. 1 и располагается ниже зависимости  $P_D(\tau)$ , так как требуемая для такого отказа мощность импульса меньше. На этом формальное сходство зависимостей  $P_D(\tau)$  и  $P_C(\tau)$  заканчивается.

Иногда удобнее использовать пороговые уровни отказов не в виде зависимости мощности  $P_D(\tau)$ , а в энергетическом представлении, которое в приближении прямоугольного импульса получается умножением формулы (2) на его длительность:

$$\Theta_D(\tau) = \tau P_D(\tau) = \left[ c_V V + \frac{4\pi d}{3} \chi \tau \right] (T_D - T_0). \quad (3)$$

В этом приближении при  $\tau \leq \tau_D$  пороговая энергия минимальна, постоянна и равна  $\Theta_D(\tau) = c_V V (T_D - T_0)$ , асимптота адиабатического нагрева горизонтальна; при  $\tau \geq \tau_D$  энергия и асимптота квазистатического нагрева растут пропорционально  $\tau$ :

$$\Theta_D(\tau) = \frac{4\pi d}{3} \chi \tau (T_D - T_0).$$

В точке  $\tau = \tau_D$  пересечения асимптот энергии равны.

Формулы (2) и (3) описывают воздействие на ПП одиночных импульсов. Ничто не мешает использовать их и для описания явлений, порожденных серией импульсов, мощность  $P(\tau)$  и энергия  $\Theta(\tau) = \tau P(\tau)$  каждого из которых меньше, чем у одиночных импульсов. При этом отказ достигается посредством запуска эффекта накопления тепла, возможного при их периодическом воздействии с частотой  $F$ , превышающей некоторое пороговое значение.

## 2. ОТКАЗЫ ТИПА “D” У СВЧ ПП

Пороговые уровни отказов типа “D” у отдельных ПП (имеются в виду СВЧ ПП сантиметрового диапазона) удовлетворительно объясняются [8] в рамках тепловых моделей [4–7]. Взяв за основу формулу (2) и рис. 1, оценим значения величин, характеризующих выгорание ПП при воздействии одиночных импульсов. Воспользовавшись адиабатической частью этой формулы, найдем рассеянную в объеме  $V$  активной области ПП пороговую энергию прямоугольного электрического импульса  $P_D(t)$ , длительность которого равна предельной длительности  $\tau = \tau_D$  асимптоты  $I$ :

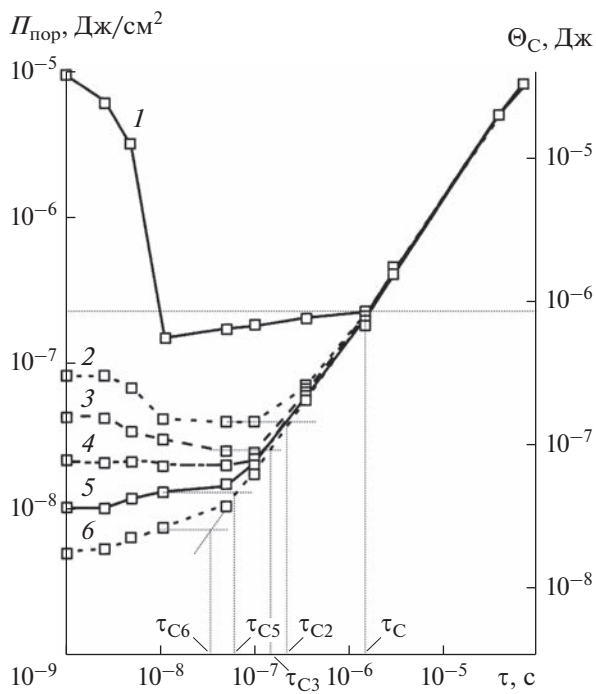
$$\begin{aligned} \Theta_D(\tau_D) &= \int_0^{\tau_D} P_D(t) dt = P_D(\tau_D) \tau_D = \\ &= \int_{T_0}^{T_D} c_V(T) V dT \approx \langle c_V \rangle V (T_D - T_0). \end{aligned} \quad (4)$$

В этом выражении  $\langle c_V \rangle$  – удельная теплоемкость полупроводника, усредненная в диапазоне температур интегрирования; объем  $V$  активной области полагаем не зависящим от температуры. Из (4) найдем этот объем:

$$V \approx \frac{P_D(\tau_D) \tau_D}{\langle c_V \rangle (T_D - T_0)}. \quad (5)$$

Подставив типичное для СВЧ ПП значение энергии выгорания  $\tau_D P_D(\tau_D) \approx 10^{-6}$  Дж, взятое из рис. 1, и полагая, что  $\langle c_V(T) \rangle \approx 2.04 \times 10^6$  Дж/(м<sup>3</sup> К),  $T_D = 1690$  К,  $T_0 = 300$  К, получим значение  $\hat{V} \approx 3.5 \times 10^{-16}$  м<sup>3</sup>, которое пометим “шапочкой”. Цилиндр с таким же объемом и диаметром  $\hat{d} = 20 \times 10^{-6}$  м имеет высоту  $h = \frac{4V}{\pi d^2} = 1.1 \times 10^{-6}$  м. По порядку величины такие размеры типичны для активных областей СВЧ-диодов и транзисторов, работающих на частотах менее 10 ГГц.

В точке пересечения  $\tau = \tau_D$  адиабатической и квазистатической асимптот слагаемые, находя-



**Рис. 2.** Зависимости пороговой плотности энергии отказов типа “С” у ПК от длительности воздействующих СВЧ-импульсов при различных частотах повторения: одиночные импульсы (1),  $F = 25$  (2), 50 (3), 100 (4), 200 (5) и 400 Гц (6); правая ось – пороговая энергия СВЧ-импульса, рассеиваемая в процессоре ПК.

щиеся в квадратных скобках формулы (2), равны. Из их равенства найдем время тепловой релаксации отказа типа “D”

$$\tau_D = \frac{3c_V V}{4\pi\chi d}. \quad (6)$$

У кремния при увеличении температуры от комнатной  $T_0 = 300$  К до температуры плавления  $T_D = 1690$  К удельная теплоемкость  $c_V$ , монотонно стремясь к насыщению, возрастает в 1.5 раза, а теплопроводность  $\chi$ , насыщаясь, уменьшается в 6.7 раза, поэтому при  $d = \text{const}$  значение  $\tau_D$  возрастает примерно в 10 раз. Но поскольку  $\tau_D$  принадлежит границе статического нагрева, то значения теплоемкости  $c_V = 2.45 \times 10^6$  Дж/(м<sup>3</sup> К) и теплопроводности  $\chi \approx 20$  Вт/(м К) в формуле (6) определены при температуре плавления. Формулы (6) и (5) не связаны между собой. Подставив в (6) полученные выше значения объема  $\hat{V} \approx 3.5 \times 10^{-16}$  м<sup>3</sup> и диаметра  $\hat{d} = 20 \times 10^{-6}$  м цилиндра, получим  $\tau_D \approx 0.5 \times 10^{-6}$  с, что одного порядка с постоянной  $\tau_D$  на рис. 1.

Таким образом, сравнение теории с экспериментом показывает, что воздействие одиночных электрических импульсов на СВЧ ПП сантиметрового диапазона удовлетворительно описывается формулой (2): необратимые отказы типа “D” происходят [8] в результате развития электротепловой неустойчивости и последующего разрушения (плавления) активной области ПП, содержащей переход.

Переходя к задаче о влиянии частоты следования импульсов на отказы типа “D” у СВЧ ПП, выберем на рис. 1 такую длительность  $\tau$  и такую мощность  $P(\tau)$  импульса, энергия которого  $\tau P(\tau)$  меньше, чем пороговое значение  $\tau P_D(\tau)$  энергии одиночного импульса. Нас интересует вопрос: при каких значениях энергии, длительности и частоты  $F$  следования таких импульсов возникает эффект накопления тепла в ПП, приводящий к его выгоранию. Полное решение этой задачи численным, аналитическим и экспериментальным методами изложено в работах [8, 14, 15]. Приведем основные результаты.

Пусть первый импульс длительностью  $\tau$  нагревает активный объем  $V$  до температуры  $T_1 < T_D$ . По окончании действия импульса температура снижается по закону  $T(t) = T_1 \exp(-t/\tau_D)$  и к моменту  $t > \tau_D$  прихода второго импульса принимает значение  $T_{01} > T_0$ . Для запуска эффекта накопления тепла нужно, чтобы к этому моменту приращение температуры  $\Delta T = T_{01} - T_0$  в нагреваемой области превысило некое определенное значение, которое можно регулировать, укорачивая интервал времени между импульсами, увеличивая частоту их следования  $F$  и длительность  $\tau$ . При типичном для СВЧ ПП значении  $\tau_D \approx 10^{-6}$  с (см. рис. 1) это приводит к величинам такого порядка:  $F \approx 10^6$  Гц,  $\tau \approx \tau_D$ , скважность импульсов  $(F\tau)^{-1} \leq 10$ .

### 3. ОТКАЗЫ ТИПА “С” У МИКРОПРОЦЕССОРОВ

В работе [11] переднюю панель персонального компьютера PC386DX-40, работающего в режиме тестирования ячеек памяти, фронтально облучали СВЧ-импульсами с несущей частотой  $f_0 \approx 2.8$  ГГц, длительность и частоту следования которых меняли в широких пределах. Измеренные зависимости пороговой плотности энергии отказов типа “С” у микропроцессора ПК представлены на рис. 2 (левая ось ординат). Правая ось ординат построена нами для удобства перевода плотности электромагнитной энергии в единицы электрической энергии, используемой в модели Таска.

Из рисунка видно, что при длительности импульсов  $\tau \geq 10$  нс полученные кривые в опреде-

ленной мере подобны пороговым зависимостям, вытекающим из тепловой модели Таска, отличающейся от них лишь степенью гладкости. Но при воздействии одиночных импульсов длительностью  $\tau < 10$  нс происходит резкое (на полтора-два порядка) превышение ожидаемого уровня энергии. Аналогичные явления при таких же коротких длительностях наблюдались [8] и при изучении отказов типа "D" у транзисторов 2T3120. Дадим им физическое объяснение, исходя из предположения, что отказы обоих типов возникают в результате развития электротепловых неустойчивостей.

Стимулированная выделением тепла перестройка физического состояния ПП, приводящая к обратимому или необратимому отказу, происходит при превышении температурного порога в течение некоторого конечного интервала времени. При воздействии сверхкороткого одиночного импульса необходимый интервал времени не достигается. Недостаток можно компенсировать увеличением энергии импульса, что и демонстрирует резкий подъем кривой I.

При воздействии последовательности импульсов увеличение частоты их следования влияет на скорость перестройки состояния, так как процесс нагрева, растягиваясь во времени, требует от импульсов меньше энергии, и кривые на рис. 2 все больше принимают вид зависимости Таска, описываемой формулой (3): адиабатическая асимптота горизонтальна, асимптота квазистатического нагрева наклонна и меняется пропорционально  $\tau$ .

Зависимость I на рис. 2 описывает воздействие одиночных импульсов, и на участке  $\tau \geq 10$  нс к ней применима формула (3). Будем ее использовать при описании отказов типа "C", заменив индексы у некоторых величин:

$$\Theta_C(\tau) = \tau P_C(\tau) = \left[ c_V V + \tau \frac{4\pi}{3} \chi d \right] (T_C - T_p). \quad (7)$$

Здесь  $T_p$  – температура стационарно работающего микропроцессора,  $T_C$  – пороговая температура активной области, превышение которой приводит к зависанию процессора.

Опишем процедуру пересчета плотности энергии падающих на переднюю панель ПК электромагнитных импульсов в рассеиваемую ими в процессоре энергию, используемую в модели Таска. На рис. 2 выбрали характерную для одиночных импульсов точку с координатами  $\tau_C \approx 1.5 \times 10^{-6}$  с и  $\Pi_{\text{пор}} = 2 \times 10^{-7}$  Дж/см<sup>2</sup>, в которой пересекаются адиабатическая линия (кривая I) и линия квазистатического нагрева (наклонная прямая). В этой точке нашли амплитуду напряженности электрического поля СВЧ-импульса  $E_m = \sqrt{2\Pi_{\text{пор}}Z_0/\tau}$ , [В/м]

( $Z_0 = 120\pi$ -волновое сопротивление пустого пространства), подставив которую в формулу [17]

$$\Theta_C(\tau_C) = P_C(\tau_C)\tau_C = \frac{c^2 G_r E_m^2 \tau_C}{8\pi Z_0 f_0^2 \beta^2},$$

вычислили рассеянную в микропроцессоре энергию  $\Theta_C \approx 9 \times 10^{-7}$  Дж, вызвавшую отказ типа "C". В этом выражении:  $c$  – скорость света;  $G_r \geq 1$  – усредненный (порядка 1) коэффициент усиления подключенных к портам микропроцессора проводников, воспринимающих СВЧ-поле;  $\beta^2 \geq 1$  – коэффициент ослабления электромагнитного поля. Если воспринимающие поле проводники, подсоединенные к портам процессора, не экранированы специальным образом, то  $\beta^2 \approx 1$ . При этом коэффициенты  $\beta^2$  и  $G_r$  равны по порядку величины и в определенной мере компенсируют друг друга, поэтому их приняли равными.

Рассчитанная в точке пересечения энергия  $\Theta_C(\tau_C) \approx 9 \times 10^{-7}$  Дж практически совпала с типичной энергией отказа типа "D" у СВЧ ПП (см. рис. 1). Совпадение случайное, но возникает вопрос: почему при существенном различии размеров и внутреннего устройства двух видов ПП постоянные времени  $\tau_C$  и  $\tau_D$  у них сопоставимы.

Из практики известно, что во время работы микропроцессор нагревается до температуры  $T_p \approx 340$  К. Известно также [18, разд. 1.4], что при температурах  $T > 800$  К концентрация собственных носителей заряда в кремнии превышает  $n_i > 10^{17}$  см<sup>-3</sup>, что может оказаться на работоспособности транзисторов процессора. Поэтомуявление отказов типа "C" наиболее вероятно, когда под воздействием энергии импульсов температура в активной области окажется в пределах интервала ( $340 < T_C < 800$ ) К. Сделаем оценки.

Первое и второе слагаемые в квадратных скобках формулы (7) описывают адиабатическую и квазистатическую асимптоты нагрева, см. рис. 1. При  $\tau = \tau_C$  асимптоты пересекаются, и из равенства слагаемых найдем диаметр

$$d \approx \sqrt{\frac{8\chi\tau_C}{c_V}} \quad (8)$$

и объем  $V \approx \pi d^3/6$  той области процессора, которая за время длительности импульса  $\tau_C \approx 10^{-6}$  с нагреется до температуры  $T_C$ . Приняв  $T_C = 800$  К, подставив  $\chi(T_C) = 42.2$  Вт/(м<sup>2</sup> К),  $c_V(T_C) = 2.12 \times 10^6$  Дж/(м<sup>3</sup> К), найдем  $d \approx 1.26 \times 10^{-5}$  м,  $V \approx 1.05 \times 10^{-15}$  м<sup>3</sup>, что одного порядка с объемом  $\bar{V} \approx 3.5 \times 10^{-16}$  м<sup>3</sup> выгорания активной области отдельных СВЧ ПП. При температуре  $T_C = 400$  К,

близкой к нижней границе отказов типа “С”, получим объем  $V \approx 4.56 \times 10^{-15} \text{ м}^3$ , который на порядок больше.

Таким образом, у процессора объем активно нагреваемой области зависит от пороговой температуры  $T_C$ , поскольку она определяет значения коэффициентов  $c_V$  и  $\chi$  формулы (8). Причем объем этой области примерно на шесть порядков меньше объема кристалла стандартного микропроцессора, площадь которого  $\sigma \approx 7 \times 7 \text{ мм}^2$ . Если на нагрев активного объема расходуется энергия импульса порядка  $\Theta_C(\tau) \approx 10^{-6} \text{ Дж}$  (см. рис. 2, кривая I), то для нагрева всего процессора до такой же температуры  $T_C$  понадобится примерно 1 Дж.

Будем считать, что у испытанного в [11] компьютера PC386DX-40 микропроцессор по своей структуре не отличается от процессора 80386DX20, у которого площадь кристалла  $\sigma \approx 42 \text{ мм}^2$ , минимальный структурный размер [13] равен  $\mu = 1.5 \times 10^{-6} \text{ м}$ , а число транзисторов 275000. Полагаем, что на каждый такой транзистор приходится объем, эквивалентный объему куба со стороной  $l = 2\mu = 3 \times 10^{-6} \text{ м}$ . Тогда при температуре  $T_C = 800 \text{ К}$  активно нагреваемая область процессора вмещает в себя 39 элементарных транзисторов. При более низкой температуре  $T_C$  число элементарных транзисторов растет пропорционально увеличению объема активной области.

Наиболее нагреваемой областью процессора с центрально симметричным дизайном является центр микросхемы, откуда отток тепла затруднен из-за малых градиентов температуры между расположеными там транзисторами. Наряду с температурой  $T(t)$  в этой же области коэффициент удельной теплоемкости  $c_V(T)$ , отвечающий в формуле (7) за количество накопленного тепла, является наибольшим, а коэффициент теплопроводности  $\chi(T)$ , отвечающий за его растекание, – наименьшим. При достижении пороговой температуры  $T_C$  часть элементарных транзисторов меняет свое физическое состояние и их нормальное функционирование прекращается. Перезапуск питания возвращает их к обычному состоянию.

В течение времени воздействия электрического импульса процессор представляет собой открытую нелинейную диссипативную систему. В таких системах тепловые явления могут развиваться не однородно по всему объему, а в режимах с “обострением” [19], когда число степеней свободы системы резко сокращается, процесс локализуется, стягиваясь к малому объему, в котором температура достигает максимального значения. Это сродни уже упомянутому в разд. 2 неоднородному распределению (“шнурованию”) тока по сечению СВЧ ПП, что типично для неустойчивостей

с S-образной вольтамперной характеристикой. По-видимому, подобная (но не катастрофическая) локализация тепловых процессов в относительно малом объеме происходит и при нагреве процессора электрическим импульсом: энергии импульса недостаточно для шнурования тока, но при наличии источника питания ее хватает для появления отказа типа “С”. Представим эту область локального нагрева в виде цилиндра, ось которого совпадает с осью симметрии процессора.

Исходя из (7), по окончании короткого  $\tau \leq \tau_C$  одиночного импульса пороговая энергия обратимого отказа типа “С”, накопленная в активном объеме  $V$  цилиндра при адиабатическом нагреве, равна

$$\tau P_C(\tau) = c_V V (T_C - T_p). \quad (9)$$

Выразим ее в единицах температуры

$$T_C - T_p = \frac{\tau P_C(\tau)}{c_V V}. \quad (10)$$

Эта энергия частично излучается вовне через торцы цилиндра, но в основном растекается в стороны, диффундируя к границам процессора с постоянной времени [7]

$$\tau_a = \frac{a^2 c_V}{4\pi\chi}, \quad (11)$$

где  $a \approx 6.5 \text{ мм}$  – длина стороны кристалла процессора Intel 386DX,  $\chi/c_V$  – коэффициент тепловой диффузии. Поскольку накопленная за время  $\tau \leq \tau_C$  энергия, а значит, и температура сосредоточены в малом объеме цилиндра, то диффузия в окружающие области кристалла протекает при рабочей температуре  $T_p \approx 340 \text{ К}$  процессора, которая и определяет значения коэффициентов  $c_V(T_p)$  и  $\chi(T_p)$ . Подставив в (11) численные значения этих величин, получим  $\tau_a \approx 5 \times 10^{-2} \text{ с}$ .

По окончании действия импульса температура цилиндра снижается по закону

$$T(t) = T_C \exp(-t/\tau_a) + T_p. \quad (12)$$

В энергетическом представлении наклонная прямая на рис. 2, из координатных точек  $\tau_{Cj}$  которой (см. пунктирные линии) выходят кривые 2–6, является асимптотой квазистатического нагрева (см. комментарии к формуле (3)). Пороговая мощность отказа на этой прямой постоянна при любой длительности одиночного импульса, поэтому можно положить  $P(\tau) = P_C(\tau_C)$ ; но энергия импульса пропорциональна  $k = \tau/\tau_C$ . При этом формула (10) принимает вид

$$q = k (T_C - T_p) = k \frac{\tau_C P_C(\tau_C)}{c_V V}. \quad (13)$$

Рассмотрим теперь воздействие коротких  $\tau < \tau_c$  импульсов малой энергии  $\tau P_c(\tau_c) < \tau_c P_c(\tau_c)$ , следующих с пороговой частотой  $F$ , превышение которой приводит к отказу типа "C" в результате накопления тепла. Вместо (9) будем использовать уравнение

$$\tau P_c(\tau_c) = c_V V (T_n - T_p), \quad (14)$$

где  $T_n < T_c$  — температура цилиндра в момент окончания  $n$ -го импульса;  $n = 0, 1, 2, \dots$ . Энергию  $\tau P_c(\tau_c)$  первого и всех последующих импульсов полагаем одинаковой.

Если период следования  $1/F$  и длительность  $\tau$  импульсов соотносятся как  $1/F \gg \tau$ , то из (12) следует, что по окончании действия любого  $n$ -го импульса цилиндр будет остывать по закону

$$T_n(t) \approx T_p \exp(-\gamma t) + T_p, \quad (15)$$

где  $\gamma = 1/F\tau_a$ . Полагая время  $\tau_a$  тепловой релаксации и теплоемкость цилиндра  $c_V V$  постоянными величинами, исходя из (14), сразу после прихода первого импульса будем иметь температуру  $T_1 = q + T_p$ ; после прихода второго импульса получим температуру  $T_2 = q + q \exp(-\gamma) + T_p$ , после третьего  $T_3 = q + q \exp(-\gamma) + q \exp(-2\gamma) + T_p$ . После  $n$ -го импульса

$$T_n = q [1 + \exp(-\gamma) + \exp(-2\gamma) + \dots + \exp(-n\gamma)] + T_p = q \sum_{n=0}^{\infty} \exp(-n\gamma) + T_p. \quad (16)$$

При  $|\exp(-\gamma)| < 1$  ряд сходится к сумме

$$S(n) = \sum_{n=0}^{\infty} \exp(-n\gamma) = \frac{1}{1 - \exp(-\gamma)}.$$

Сходимость быстрая: с погрешностью в единицы процентов максимум достигается при

$$n \geq 50F\tau_a.$$

При этом отказ типа "C" произойдет, спустя пороговое время

$$\Delta t = n/F \approx 50\tau_a.$$

Превышение пороговой энергии импульсов ведет к непропорционально быстрому уменьшению  $\Delta t$ .

Отказ типа "C" происходит после прихода  $n$ -го импульса, когда накапливаемая в объеме цилиндра температура  $T_n$  превысит температуру отказа  $T_c$ . При этом вместо (16) получим

$$T_c \approx \frac{q}{1 - \exp(-\gamma)} + T_p.$$

Отсюда найдем пороговую частоту следования импульсов

$$F \approx \frac{1}{-\tau_a \ln(1 - \tau/\tau_c)} = \frac{1}{-\tau_a \ln(1 - k)}. \quad (17)$$

Видно, что частота, с превышения которой запускается процесс накопления тепла, обратно пропорциональна постоянной времени  $\tau_a$  остыивания активного объема. Это правило является общим для ПП любого вида, так как процесс накопления, базирующийся на модели Таска, математически описывается для всех видов одинаково. Например, в разд. 2 говорилось, что у СВЧ ПП, у которых постоянная времени тепловой релаксации  $\tau_D \approx 1 \times 10^{-6}$  с, частота  $F \propto 1/\tau_D$  порядка 1 МГц; множитель  $\ln(1 - k)$  учитывает влияние относительной энергии импульсов.

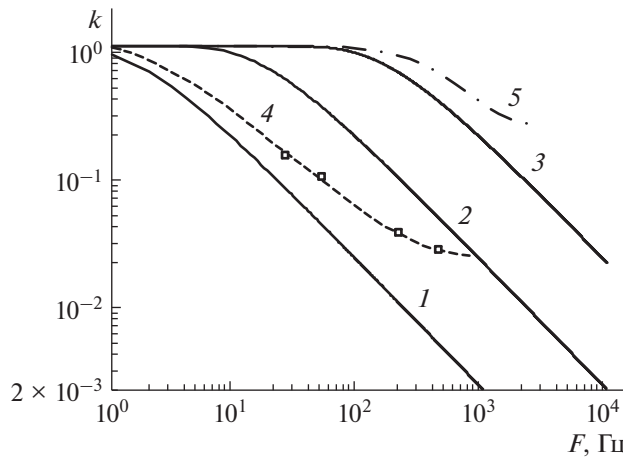
Сделаем оценки для микропроцессора. Из кривой  $I$  рис. 2 следует, что отказ типа "C" происходит при воздействии одиночного импульса длительностью  $\tau_c \approx 1.5 \times 10^{-6}$  с. При этом температура активной области достигает значения  $T_c$ , которое можно оценить по формуле (10)

$$T_c = \frac{\Theta(\tau_c)}{c_V V} + T_p,$$

зная среднюю температуру работающего процессора  $T_p \approx 340$  К и теплоемкость нагреваемой области. Подставив взятое из рис. 2 (см. кривую  $I$ ) значение  $\Theta(\tau_c) \approx 9 \times 10^{-7}$  Дж и определенные выше при граничной температуре  $T_c = 800$  К объем цилиндра  $V = 1.05 \times 10^{-15}$  м<sup>3</sup> и коэффициент  $c_V \approx 2.12 \times 10^6$  Дж/(м<sup>3</sup> К), получим  $T_c \approx 740$  К. Теплоемкость изменилась, подставив уточненное значение  $c_V$ , получим более точную оценку верхней пороговой температуры  $T_c \approx 725$  К.

На рис. 3 сплошными кривыми представлены рассчитанные по формуле (17) теоретические зависимости относительной энергии  $k = \tau/\tau_c$  импульсов от частоты  $F$  при трех значениях  $\tau_a$ , меняющихся десятикратно. На этом же рисунке приведена штриховая кривая 4, построенная по результатам измерений (квадратики вдоль кривой) при подстановке в (17) найденных нами из рис. 2 значений  $\tau_{c,j}$ , используемых при вычислении относительной энергии  $k = \tau_{c,j}/\tau_c$  импульсов, следующих с разными частотами.

Кривая 4 расположена между зависимостями 1 и 2, рассчитанными для постоянных времени  $\tau_a$ , равных 0.5 и 0.05 с, из которых  $\tau_a \approx 5 \times 10^{-2}$  с определена по формуле (11) для процессора Intel 386DX. Однако кривая 4 в среднем ближе к зави-



**Рис. 3.** Зависимость относительной энергии импульсов, приводящих к отказам типа “С” (кривые 1–4) и типа “D” (кривая 5) от частоты их следования: расчет по формуле (17) для трех времен релаксации процессора,  $\tau_a = 0.5$  (1), 0.05 (2) и 0.005 с (3); кривая 4 построена по экспериментальным данным работы [11], кривая 5 взята из [9].

симости 1, чем 2. Это может быть вызвано различными причинами, включая более сложное влияние температуры на теплоемкость и теплопроводность полупроводника.

При воздействии одиночного импульса время остыивания не ограничено и тепло из активного объема растекается по процессору при постоянной температуре  $T_p$ . Но при повышении частоты  $F$  следования импульсов температура в объеме процессора постепенно возрастает и тем заметнее, чем больше произведение энергии импульсов на  $F$ . При этом особенно быстро снижается коэффициент теплопроводности  $\chi$ , что в формуле (11) приводит к увеличению  $\tau_a$  и смещению расчетных кривых 1–3 на рис. 3 влево. При этом кривая 2 будет приближаться к экспериментальной зависимости 4. Помимо этого, кривая 4 отличается от теории тем, что по мере увеличения частоты  $F$  она стремится к насыщению, словно “упирается в какое-то препятствие”.

Известно, что для уверенного приема амплитудно-модулированного сигнала необходимо, чтобы его мощность превышала мощность собственных шумов приемника в полосе его пропускания. Аналогично, при воздействии периодической последовательности импульсов процесс накопления тепла возможен, если энергия (13) импульсов, выраженная в единицах температуры  $(T_c - T_p)k$ , превышает среднюю амплитуду температурных флуктуаций  $\Delta T$  в области цилиндра. Исходя из кривой 4 (см. рис. 3) в рассматриваемом случае  $k \approx 0.01$  и флуктуации имеют порядок

$\Delta T \approx 0.01(T_c - T_p)$ . Мы не знаем точных значений температур  $T_p$  и  $T_c$  работающего микропроцессора. Положив, например,  $T_p = 360$  К,  $T_c = 600$  К, получим  $\Delta T \approx 2.5^\circ\text{C}$ , что по порядку может быть пределом, ограничивающим снизу зависимость 4 на рис. 3.

#### 4. ОТКАЗЫ ТИПА “D” У МИКРОСХЕМ

Экспериментальные исследования отказов типа “D” у различных микросхем [9] показали, что при воздействии одиночных радиоимпульсов пороговые зависимости мощности выгорания  $P_D(\tau)$  подобны изображенным на рис. 1. При этом постоянные времени отказов в основном находятся в диапазоне значений  $1 \leq \tau_D \leq 5$  мкс, которые типичны [8] для СВЧ ПП малой и средней мощности. Поскольку по размерам микросхемы несопоставимо больше СВЧ ПП, то ограниченный диапазон значений  $\tau_D$  свидетельствует о том, что отказы типа “D” происходят у них также в результате развития электротепловой неустойчивости и шунтирования тока.

Из сказанного в предыдущем разделе следует, что у микропроцессоров температуры отказов типа “D” и типа “С” различаются более чем в два раза (1690 и 725 К). Эксперименты показывают [10], что у разных типов цифровых микросхем пороговая энергия одиночных импульсов, вызывающих отказы типа “D”, в 5...20 раз больше, чем у отказов типа “С”. И в этом превышении основную роль играет не столько разница пороговых температур  $T_D$  и  $T_c$ , сколько наличие у портов защитных диодов, в которых рассеивается значительная часть падающей на микросхему электромагнитной энергии.

На рис. 3 проведена “характерная зависимость” [9] порогового уровня повреждения микросхемы транзисторно-транзисторной логики 133 серии от частоты следования радиоимпульсов (кривая 5). На частотах, приближающихся к  $F = 100$  Гц, начинается снижение пороговой энергии импульсов, которое быстро стремится к насыщению, и на частоте  $F \approx 2000$  Гц относительная энергия оказывается примерно в 4 раза меньше, чем у одиночного импульса, достигая уровня  $k \approx 0.24$ . Авторы считают, что снижение порога связано с накоплением дефектов.

Но у кремниевых приборов быстрое накопление дефектов, наблюдаемое при частотах следования порядка 1 МГц, происходит [20] в диапазоне нормированной энергии импульсов  $0.5 \leq k \leq 1$ , в который уровень  $k \approx 0.24$  не попадает. Вместе с тем из десяти транзисторов 2T3120, экспериментально обследованных в [8, 15], только у одного процесс накопления тепла развился при  $k \approx 0.08$ ; у

остальных – при  $0.12 < k < 0.33$ , куда попадает и уровень  $k \approx 0.24$ . Поэтому есть основания считать, что при воздействии последовательности импульсов отказы типа “D” у микросхем происходят преимущественно в результате развития эффекта накопления тепла.

### ЗАКЛЮЧЕНИЕ

Проведенные оценки показывают, что у СВЧ ПП, у микропроцессоров, микроконтроллеров и микросхем отказы типа “C” и типа “D”, возникающие при воздействии мощных электромагнитных импульсов, происходят в результате развития электротепловой неустойчивости. В ходе этой неустойчивости все линии тока стягиваются в тонкий шнур, внутри которого образуется область повышенной температуры, ответственной за появление как обратимых отказов типа “C” у микропроцессоров и микроконтроллеров, так и необратимых отказов типа “D” у любых видов ПП.

Отказы типа “C” и типа “D” могут возникать при воздействии как одиночных импульсов большой амплитуды, так и последовательности менее энергичных импульсов. В процессах с накоплением тепла частота следования будет тем меньше, чем больше постоянная времени остывания ПП, пропорциональная (11) квадрату размера его кристалла. Поэтому у микропроцессоров и микросхем наблюдаемая в опытах частота повторения порядка десятков–сотен герц, а у СВЧ ПП – порядка мегагерц.

Авторы заявляют об отсутствии конфликта интересов.

### ФИНАНСИРОВАНИЕ РАБОТЫ

Работа выполнена при финансовой поддержке Российского фонда фундаментальных исследований (проект № 19-29-06010). Исследования по данной тематике проводятся в рамках бюджетной НИР FFZF-2022-0003.

### СПИСОК ЛИТЕРАТУРЫ

1. *Рикетс Л.У., Бриджес Дж., Майлетта Дж.* Электромагнитный импульс и методы защиты. М.: Атомиздат, 1979.
2. *Whalen J.J., Calcaterra M.C., Thorn M.L.* // IEEE Trans. 1979. V. MTT-27. № 12. P. 1026.
3. *Wunsh D.C., Bell R.R.* // IEEE Trans. 1968. V. NS-15. № 6. P. 244.
4. *Taska D.M.* // IEEE Trans. 1970. V. NS-17. № 6. P. 364.
5. *Arkhipov V.I., Astvatsaturyan E.R., Godovitsyn V.I., Rudenko A.I.* // Int. J. Electronics. 1983. V. 55. № 3. P. 395.
6. *Абидов М.А.* Статические характеристики диодных структур. М.: Радио и связь, 1989.
7. *Dwyer V.M., Franklin A.J., Campbell D.S.* // Solid-State Electronics. 1990. V. 33. № 5. P. 553.
8. *Усыченко В.Г., Сорокин Л.Н.* Стойкость сверхвысокочастотных радиоприемных устройств к электромагнитным воздействиям. М.: Радиотехника, 2017.
9. *Ключник А.В., Пирогов Ю.А., Соловьев А.В.* // РЭ. 2011. Т. 56. № 3. С. 370.
10. *Nitsch D., Camp M., Sabath F. et al.* // IEEE Trans. 2004. V. EMC-46. № 3. P. 380.
11. *Юшков Ю.Г., Чумерин П.Ю., Артеменко С.Н. и др.* // РЭ. 2001. Т. 46. № 8. С. 1020.
12. *Hoad R., Carter N., Herke D., Watkins S.* // IEEE Trans. 2004. V. EMC-46. № 3. P. 390.
13. *Camp M., Garbe H.* // IEEE Trans. 2006. V. EMC-48. № 4. P. 829.
14. *Усыченко В.Г., Сасункевич А.А., Сорокин Л.Н.* // РЭ. 2016. Т. 61. № 5. С. 484.
15. *Сасункевич А.А., Сорокин Л.Н., Усыченко В.Г.* // РЭ. 2016. Т. 61. № 7. С. 702.
16. ГОСТ Р 51317.2.5–2000. Совместимость технических средств электромагнитная. Электромагнитная обстановка. Классификация электромагнитных помех в местах размещения технических средств. М.: Госстандарт России, 2001. <https://meg-anorm.ru/Data/109/10975.pdf>.
17. *Усыченко В.Г., Сорокин Л.Н., Усыченко А.С.* // РЭ. 2020. Т. 65. № 12. С. 1234.
18. *Зи С.* Физика полупроводниковых приборов. Кн. 1. М.: Мир, 1984.
19. *Самарский А.А., Галактионов В.А., Курдюмов С.П., Михайлов А.П.* Режимы с обострением в задачах для квазилинейных параболических уравнений. М.: Наука, 1987.
20. *Сасункевич А.А., Сорокин Л.Н., Усыченко В.Г.* // РЭ. 2013. Т. 58. № 6. С. 635.